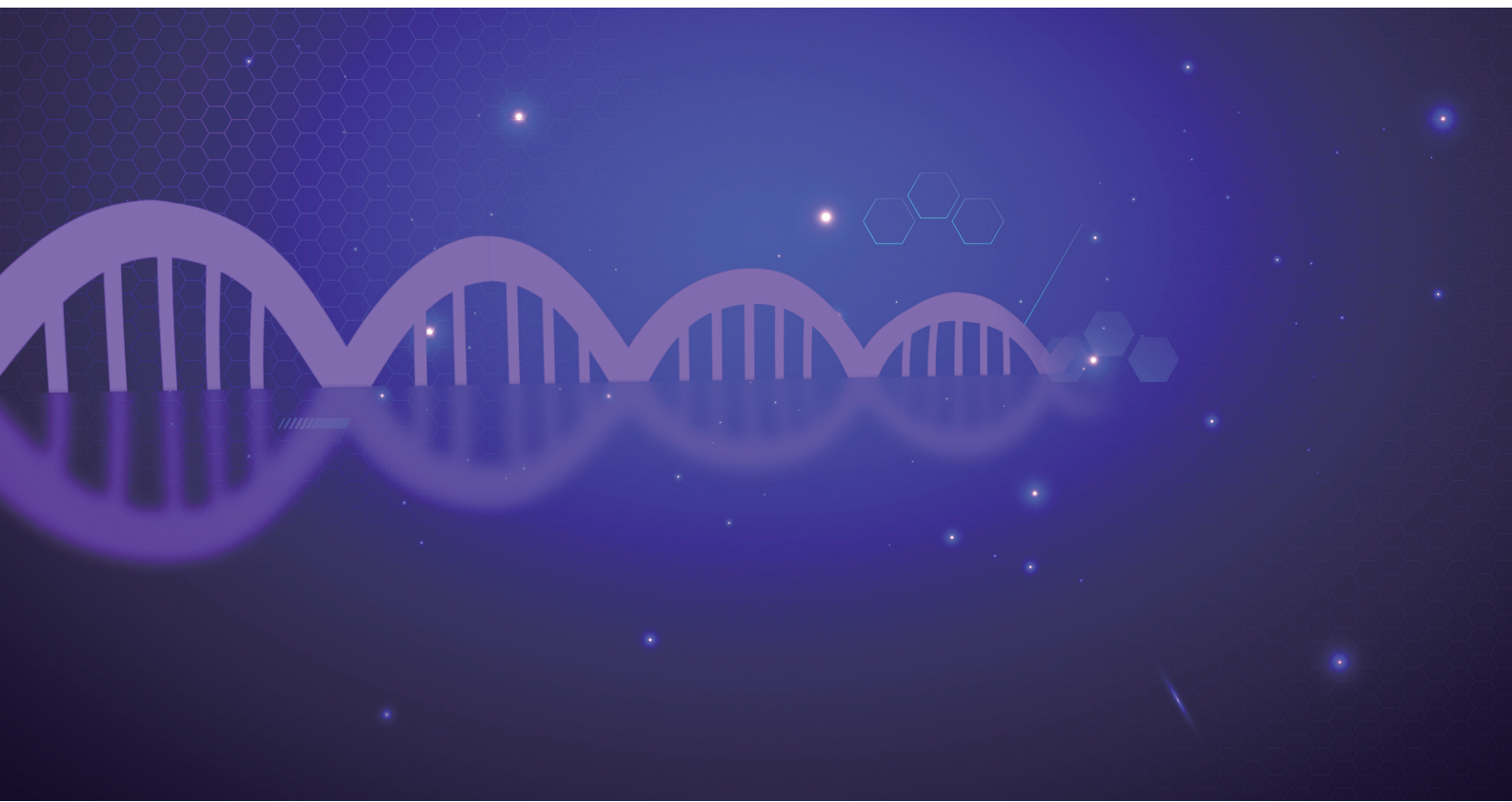




卓然不群的反转录
GenStar 反转录系列产品



北京康润诚业生物科技有限公司

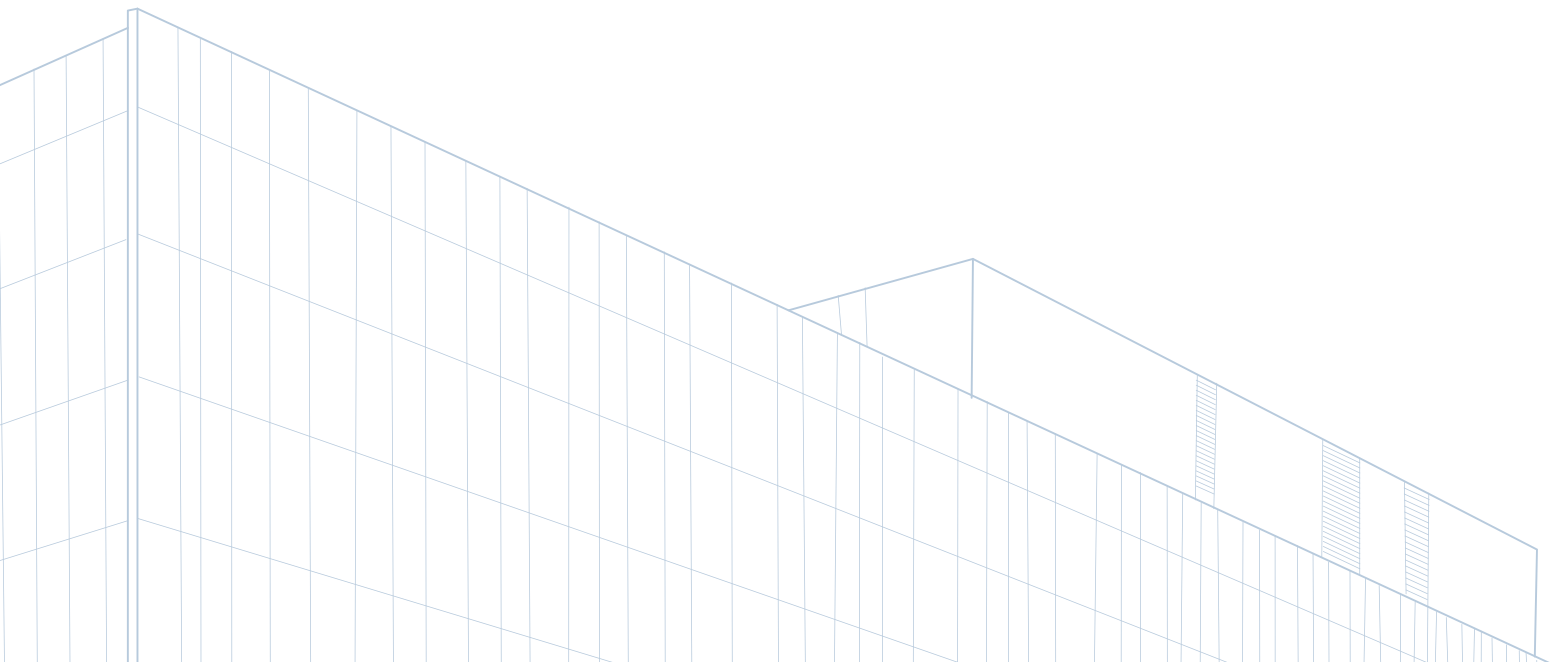


北京康润诚业生物科技有限公司（GenStar）总部位于北京，在江苏太仓设立主要生产基地。自成立十余年以来，一直深耕于分子生物学上游核心原料领域，是国内领先的兼具研发和工业化生产能力的国家高新技术企业。GenStar 产品线覆盖核酸分离纯化、扩增、克隆、蛋白质检测和纯化以及细胞生物学检测等多个系列千余种产品，并向下游应用拓展开发了各类科研用检测试剂盒，如动物疫病检测试剂盒、食品安全检测试剂盒等。目前产品的 SCI 论文引用总数已达千余篇。

康润生物拥有覆盖全国的直销和渠道销售体系，与超过两千个科研院所课题组和数百家包括生物制药、基因治疗、CXO、动物疫病检测、分子诊断、检测服务在内的工业客户长期合作。

GenStar 专业的团队、优质的产品、丰富的经验、悉心的服务，就在您的身边。

康润生物 伴您生命科学成功之路



反转录 PCR (RT-PCR) 是将 RNA 的反转录和 cDNA 的聚合酶链式反应 (PCR) 相结合的技术, 是检测基因转录水平差异的首选实验方法, 可广泛应用于细胞基因表达、RNA 病毒含量测定、克隆特定基因的 cDNA 序列等方面。

GenStar 将 M-MLv 进行了基因工程改造, 开发了新一代反转录酶, 不仅有卓越的 cDNA 合成能力, 而且克服了低丰度、复杂模板的反转录难题。



01 / 反转录酶	P02
02 / cDNA 第一链合成	P04
03 / 一步法 RT-PCR	P11
04 / 反转录配套试剂	P12
附录: 代表性文献 (近 5 年, IF \geq 8)	P13

01 / 反转录酶

GenStar 反转录酶是利用基因工程技术，对 M-MLv 进行定点突变后得到的全新反转录酶，适用于常规反转录、普通 RT-PCR 及 real time RT-PCR 等实验的第一链 cDNA 合成。

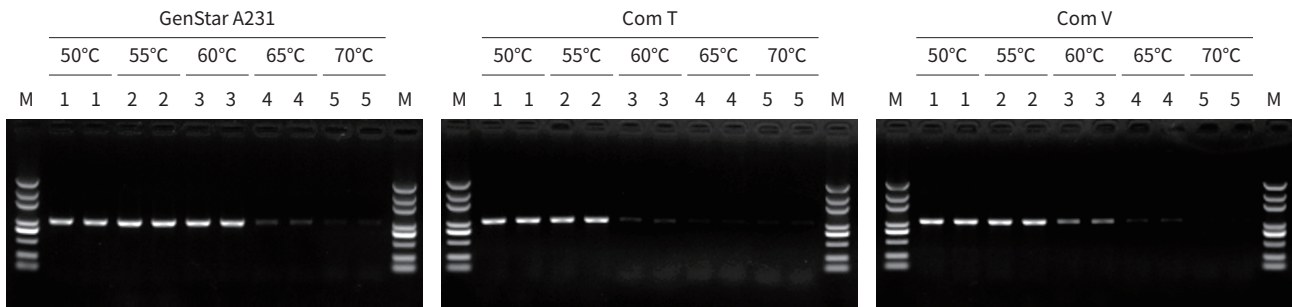
反转录酶

产品名称	货号	规格	目录价 (¥)
StarScript III Reverse Transcriptase	A231-01	2000 U	180
StarScript III 反转录酶	A231-05	10000 U	780

StarScript III 反转录酶 (Cat#A231)

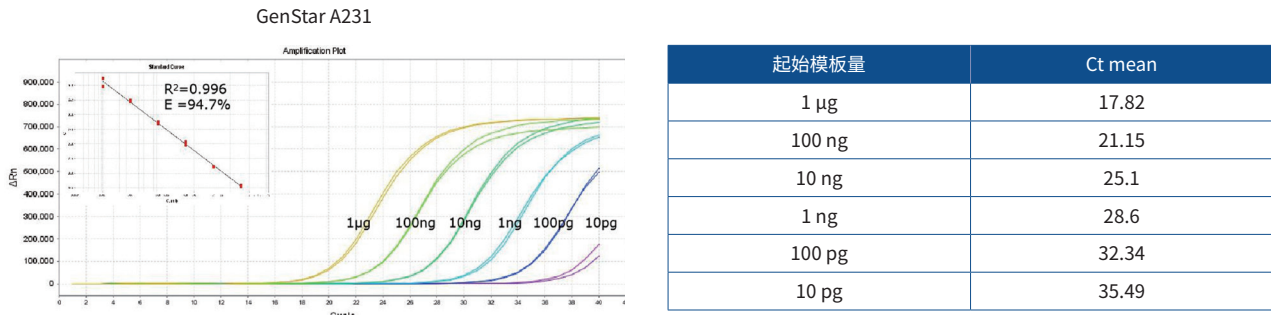
- ◆ **热稳定性强**：可耐受 37-65°C 反应温度，适合高 GC 复杂模板的反转录反应
- ◆ **灵敏度高**：可有效对 10 pg - 1 μg RNA 模板进行反转录，低丰度模板也能完美反转录
- ◆ **模板兼容性强**：适用于不同物种来源的、各种类型 RNA 模板
- ◆ **应用广泛**：可应用于基因 cDNA 第一链合成、miRNA 反转录、RT-PCR、qRT-PCR 等实验

► 热稳定性强



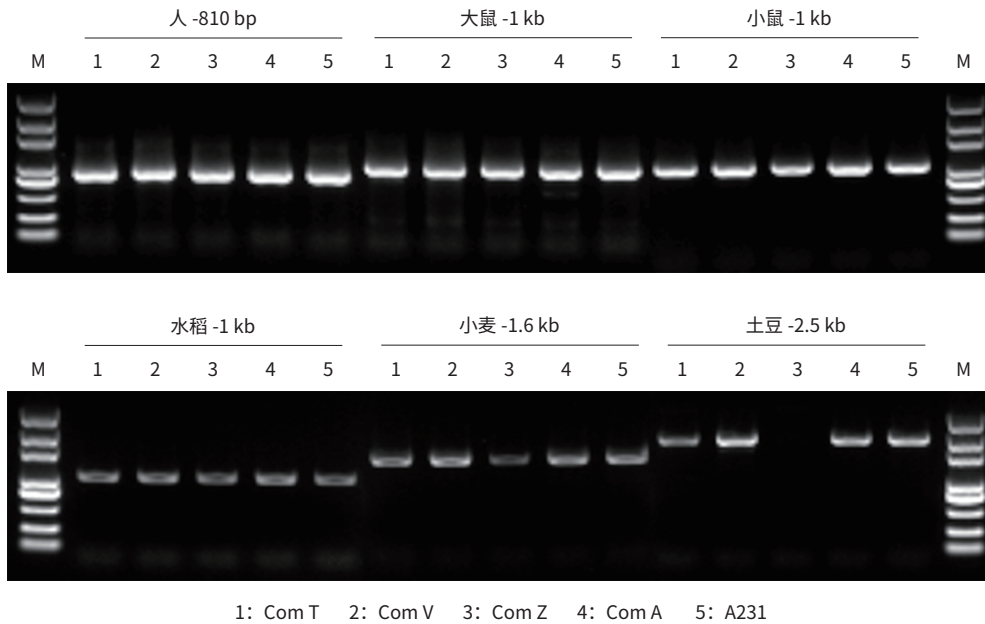
以水稻 RNA 为模板，分别使用 GenStar A231、Com V、Com T 在不同温度下进行反转录。结果显示，StarScript III 反转录最佳反应温度为 50-60°C，在 60-65°C 高温下，反转录效果优于 Com V 和 Com T。针对二级结构复杂的样品可采用较高温度（60°C）进行反转录反应

► 灵敏度高



以 1 μg/100 ng/10 ng/1 ng/100 pg/10 pg 的 Human RNA 为模板，使用 GenStar A231 反转录后进行 qPCR 检测。结果显示，在 10 pg-1 μg 的范围内具有良好的线性关系，A231 可以轻松转录低至 10 pg 的 RNA 模板

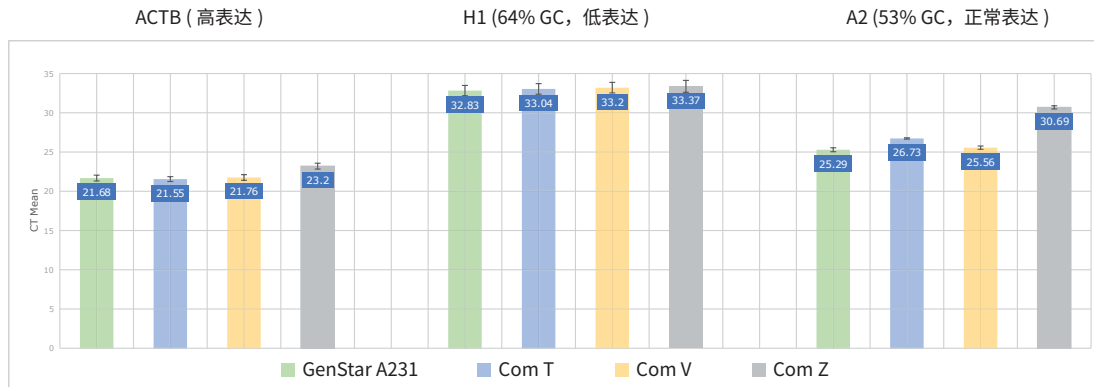
▶ 不同种属来源模板兼容性强



1: Com T 2: Com V 3: Com Z 4: Com A 5: A231

以不同种属来源的 RNA 为模板，分别使用 GenStar A231、ComT、Com V、Com Z 和 Com A 进行反转录反应，反应后采用相同的试剂进行 PCR 扩增和琼脂糖凝胶电泳。结果显示，GenStar A231 适用于不同种属来源的模板反转录

▶ 不同表达量基因兼容性强



以水稻 RNA 为模板，分别使用 GenStar A231、Com T、Com V、Com Z 反转录后，对不同表达水平的目的基因进行 qPCR 检测。结果显示，GenStar A231 对不同表达水平的基因反转录效果均很好，且优于 Com T、Com V、Com Z

02 / cDNA 第一链合成

GenStar cDNA 第一链合成产品除了预混试剂、试剂盒，也升级开发了去基因组和反转录一管化预混液，只需一步操作，即可实现基因组 DNA 去除和 cDNA 合成同时完成，为您带来极简高效的反转录体验。

产品名称	货号	规格	目录价 (¥)	特点
StarScript II RT Kit StarScript II 反转录试剂盒	A214-10	100 rxn	688	<ul style="list-style-type: none"> • 耐受 37-50°C 高温 • 使用方便
StarScript II RT MasterMix StarScript II 反转录预混液	A223-10	100 rxn	688	
StarScript II RT Mix with gDNA Remover StarScript II 去基因组 DNA 反转录预混试剂	A224-10	100 rxn	838	<ul style="list-style-type: none"> • 含去基因组
StarScript III RT Kit StarScript III 反转录试剂盒	A232-02	20 rxn	228	<ul style="list-style-type: none"> • 耐受 37-65°C 高温 • 适用于高 GC 模板 • 灵敏度更高
StarScript III RT MasterMix StarScript III 反转录预混液	A233-10	100 rxn	988	
StarScript III RT Mix with gDNA Remover StarScript III 去基因组 DNA 反转录预混试剂	A234-10	100 rxn	1188	
StarScript III All-in-one RT Mix with gDNA Remover StarScript III 一管化去基因组反转录预混液	A230-02	20 rxn	288	<ul style="list-style-type: none"> • 去除 gDNA 效果更好 • 去基因组和 cDNA 合成一管化
StarScript Pro All-in-one RT Mix with gDNA Remover StarScript Pro 一管化去基因组反转录预混液	A240-10	100 rxn	1568	
StarScript III RT SuperMix for qPCR (with gDNA Remover) StarScript III qPCR 专用反转录超级预混液 (含基因组去除)	A241-02	20 rxn	338	<ul style="list-style-type: none"> • A234 升级版，反转录效率更高，去基因组效果更好
	A241-10	100 rxn	1568	
StarScript III miRNA RT Kit (by Stem-loop) StarScript III miRNA 反转录试剂盒 (茎环法)	A237-02	20 rxn	238	<ul style="list-style-type: none"> • 茎环法 microRNA 反转录
	A237-10	100 rxn	998	
StarScript III miRNA RT Kit (by poly A) StarScript III miRNA 反转录试剂盒 (加尾法)	A238-02	20 rxn	1538	<ul style="list-style-type: none"> • 加尾法 microRNA 反转录 • 一步完成 poly(A) 加尾和 cDNA 合成
	A238-10	100 rxn	6798	



StarScript III 反转录酶是 StarScript II 反转录酶的升级版本。与 StarScript II 反转录酶相比，StarScript III 反转录酶具有更高的热稳定性，对于复杂二级结构和高 GC 含量靶标，可有效合成高质量的 cDNA。另外，StarScript III 反转录酶 cDNA 合成能力更高，非常适合少量模板以及低拷贝基因的反转录。

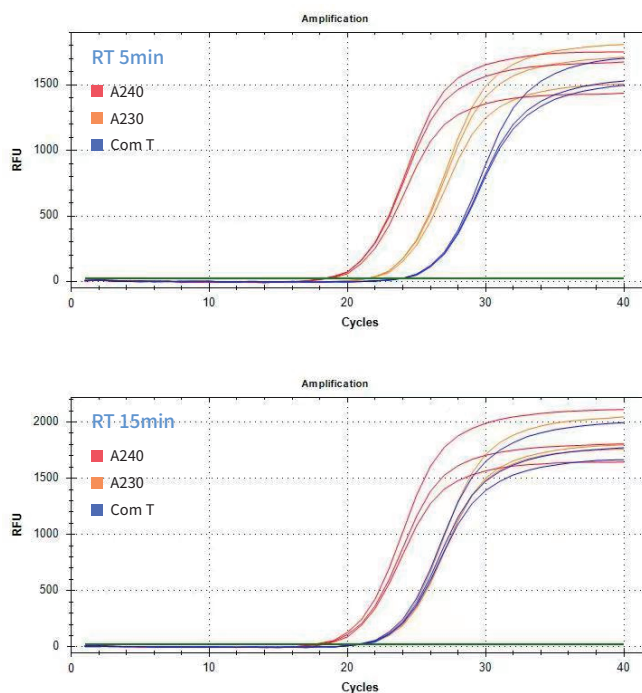
StarScript III 相关产品对比

产品名称	产品货号	推荐反应条件	产品组分	主要应用
StarScript III 反转录试剂盒	A232	50°C, 15 min (* 复杂模板 55-60°C) 另有标准操作程序推荐→ 85°C, 5 min	<ul style="list-style-type: none"> StarScript III Enzyme Mix 2×StarScript III Buffer Primer Mix Nuclease free Water(DEPC-treated) 	
StarScript III 反转录预混液	A233	50°C, 15-50 min (* 复杂模板 55-60°C; qPCR, 15 min) → 85°C, 5 min	<ul style="list-style-type: none"> StarScript III Enzyme Mix 2×StarScript III Buffer (with Primer) Nuclease-free Water (DEPC-treated) 	推荐: qPCR 检测、长片段扩增 (需要调整反应时间)
StarScript III 去基因组 DNA 反转录预混试剂	A234	37°C, 5 min → 50°C, 15-50 min (* 复杂模板 55-60°C; qPCR, 15 min) → 85°C, 5 min	<ul style="list-style-type: none"> StarScript III Enzyme Mix 5×StarScript III Buffer (with Primer) gDNA Remover 5×gDNA Remover Buffer Nuclease free Water(DEPC-treated) 	
StarScript III 一管化去基因组反转录预混液	A230	37°C, 2 min → 50°C, 15 min (* 复杂模板 55-60°C; qPCR, 5-10 min) → 85°C, 2 min	<ul style="list-style-type: none"> StarScript III All-in-one RT Mix 5×StarScript III All-in-one RT Buffer No RT Control Mix Nuclease-free Water(DEPC-treated) 	推荐: qPCR 检测 可选: 长片段扩增 (需要调整反应时间)
StarScript Pro 一管化去基因组反转录预混液	A240	37°C, 2 min → 50°C, 5-15 min (* 复杂模板 55-60°C) → 85°C, 2 min	<ul style="list-style-type: none"> StarScript Pro All-in-one RT Mix 5×StarScript Pro All-in-one RT Buffer No RT Control Mix Nuclease-free Water(DEPC-treated) 	
StarScript III qPCR 专用反转录超级预混液 (含基因组去除)	A241	37°C, 5min → 50°C, 15-50min (* 复杂模板 55-60°C; qPCR, 15 min) → 85°C, 5 s	<ul style="list-style-type: none"> gDNA Remover Mix 5×StarScript III Mix (with Primer) 5×No RT Control Mix Nuclease-free Water (DEPC-treated) 	推荐: qPCR 检测 可选: 长片段 (需要调整反应时间)

StarScript III 去基因组 DNA 反转录预混试剂 (Cat#A234)
StarScript III 一管化去基因组反转录预混液 (Cat#A230)
StarScript Pro 一管化去基因组反转录预混液 (Cat#A240)

- ◆ 热稳定性强：可耐受 37-65°C 反应温度，适合高 GC 复杂模板的反转录反应
- ◆ 灵敏度高：低丰度、复杂模板也能完美反转录
- ◆ 反转录速度快：反应时间仅需 5-15 min，即可合成高质量 cDNA
- ◆ 模板适应性广：适用于不同物种来源的各种类型 RNA 模板
- ◆ 去除 gDNA 效果好：含 gDNA Remover，可有效去除 gDNA，PCR/qPCR 实验结果更准确
- ◆ 极简操作：一管化预混液（Cat#A230/Cat#A240），一步操作即可完成 gDNA 去除与 cDNA 合成

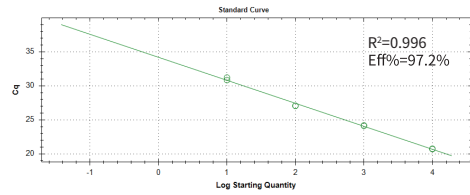
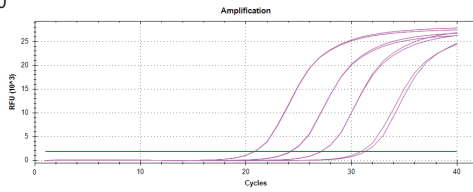
► 反转录速度快



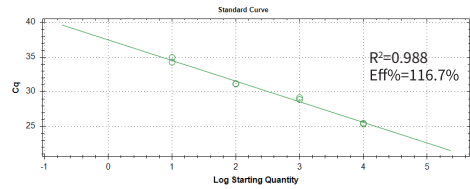
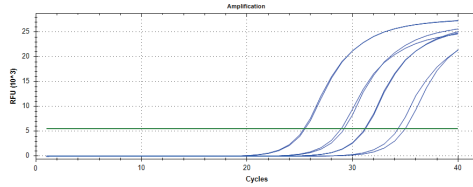
以 1 μ g 水稻 RNA 为模板，使用 A230、A240 和 Com T 进行反转录，反应时间分别为 5min 和 15min，获得的 cDNA 进行 β -actin 基因的 qPCR 验证。A230 和 A240 反转录速度均较 Com T 快

► 反转录效率高

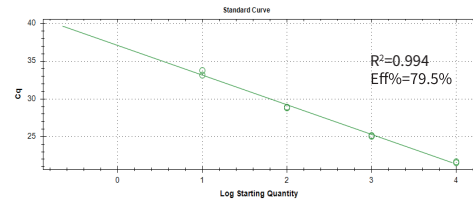
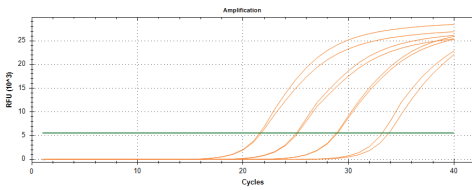
GenStar A240



GenStar A230

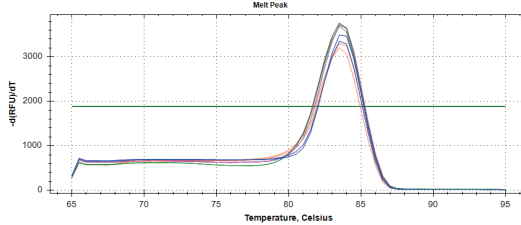
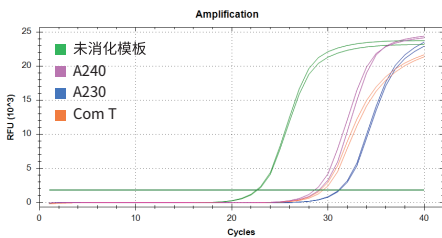


Com T



以浓度梯度为 1 μ g、100 ng、10 ng、1 ng 水稻 RNA 为模板，使用 A240、A230、Com T 进行反转录，获得的 cDNA 进行 β -actin 基因的 qPCR 验证。A230 和 A240 反转录效率均高于 Com T

► 去除基因组 DNA 效果好



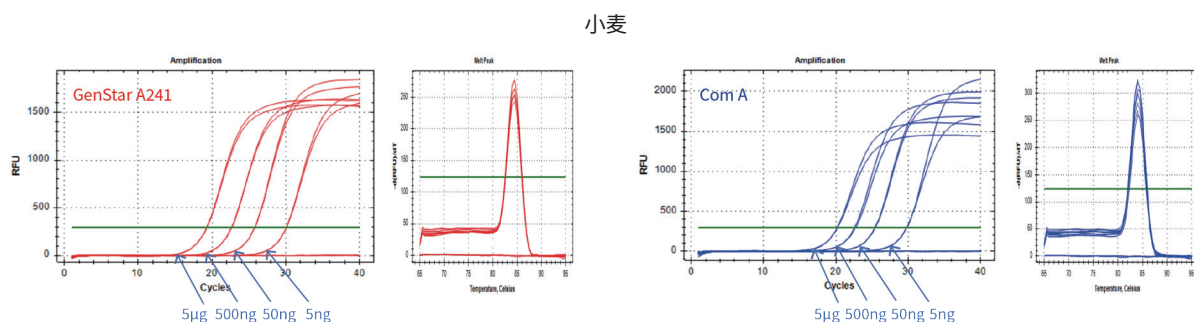
小鼠 gDNA	100ng	
未消化模板	22.63	22.50
A240	28.56	29.04
A230	31.08	31.17
Com T	29.45	29.16

以 100ng 小鼠 gDNA 为模板，使用 A230、A240、Com T 进行 gDNA 消化，qPCR 验证消化效果。A230 gDNA 消化能力最强，A240 和 Com T gDNA 消化能力相当

StarScript III qPCR 专用反转录超级预混液 (含基因组去除) (Cat#A241)

- ◆ 反转录能力强：优化的缓冲体系可耐受宽范围的模板量，能有效反转高达 5 μ g 的总 RNA 模板。
- ◆ 模板兼容性广：采用 StarScript III 高效反转录酶，热稳定性好，可耐受 65 $^{\circ}$ C 反应温度，对广泛物种来源的高 GC 及复杂二级结构的困难模板都具有良好的兼容性。
- ◆ 定量结果可靠：搭载高效基因组 DNA 去除组分，可有效清除 200ng 以上的基因组 DNA，消除对定量结果的干扰。
- ◆ 操作简便：基因组去除与反转录均采用一管化设计，能提高实验可重复性，同时节省反应体系配制时间。

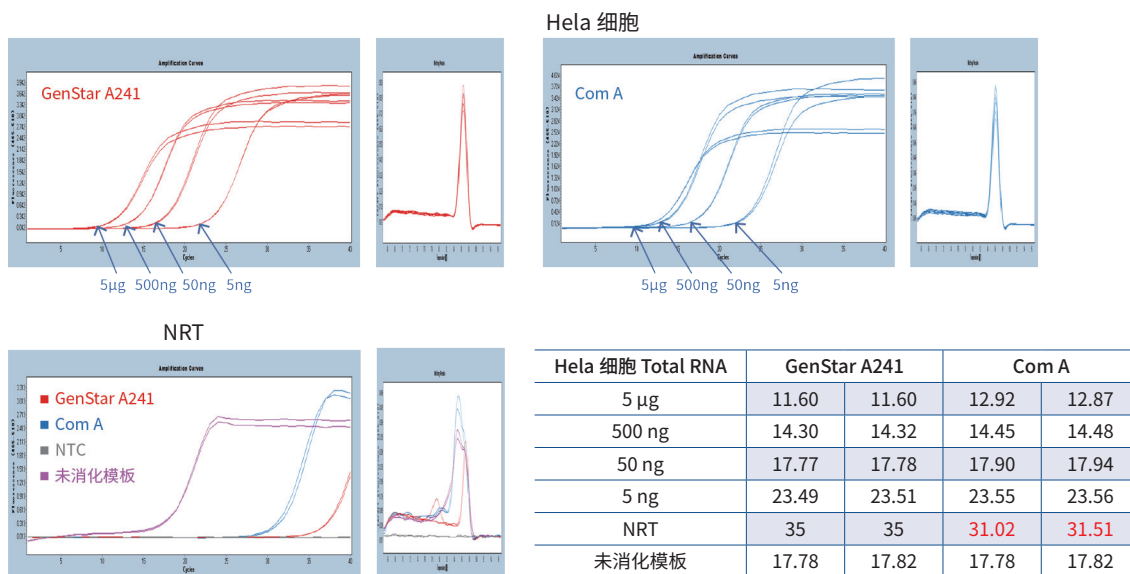
► qPCR 结果验证 - 卓越的反转录能力



小麦 Total RNA	GenStar A241		Com A	
5 μ g	19.32	19.28	20.23	20.17
500 ng	22.63	22.68	22.72	22.55
50 ng	25.78	25.80	25.42	25.37
5 ng	30.09	30.10	29.81	29.77
NRT	NoCt	NoCt	NoCt	NoCt

以小麦 Total RNA (分别为 5 μ g、500 ng、50 ng、5ng) 为模板，使用 GenStar A241、Com A 去除基因组 DNA 后进行反转录，并以 1 μ l cDNA 为模板，使用 GenStar A301 进行 qPCR 扩增，检测小麦 GADPH 基因。结果显示 GenStar A241 可有效反转录 5 μ g RNA 模板，在高浓度模板时优于 Com A，在低浓度模板时与 Com A 相当，具有卓越的反转录能力。

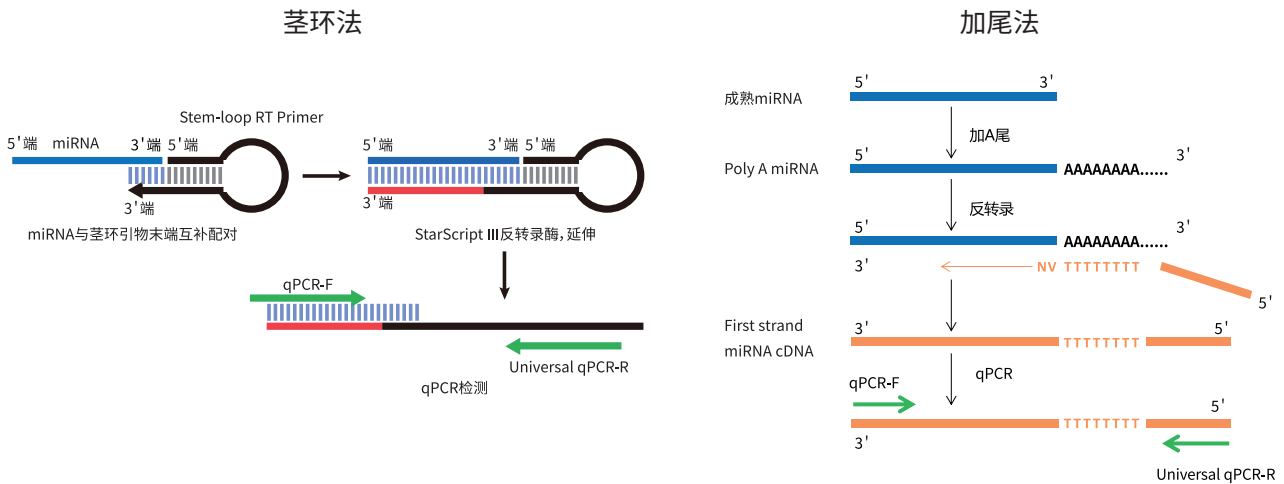
► qPCR 结果验证 - 优良的去基因组 DNA 能力



向 HeLa 细胞 Total RNA (5 μ g、500 ng、50 ng、5ng) 中分别加入 500 ng 的 Human 基因组 DNA，使用 GenStar A241、Com A 去除基因组 DNA 后进行反转录，并以 1 μ l cDNA 为模板，使用 GenStar A301 进行 qPCR 扩增，检测 Human 902 基因。结果显示 GenStar A241 可有效反转录 5 μ g RNA 模板，可有效去除高达 500 ng gDNA 污染，不仅具有卓越的反转录能力，还具有优良的去基因组 DNA 能力，优于 Com A。

StarScript III miRNA 反转录试剂盒 (茎环法) (Cat#A237)
StarScript III miRNA 反转录试剂盒 (加尾法) (Cat#A238)

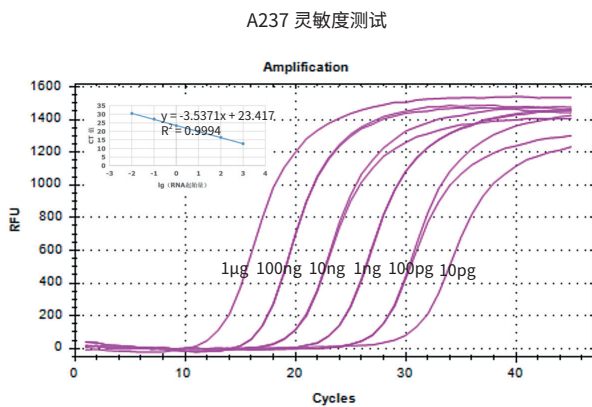
miRNA 的长度通常是 20 nt 到 24 nt，常规 qPCR 法很难对其直接检测。目前，常采用茎环法和加尾法进行 miRNA 反转录，得到加长的 miRNA cDNA，即可进行 qPCR 检测。



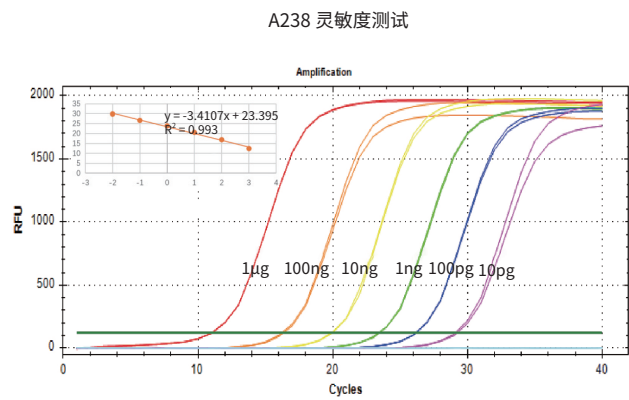
茎环法 vs 加尾法 miRNA 反转录原理示意图

- ◆ **特异性高**：通过调整 miRNA qPCR F 端引物，可有效避免 pre-miRNA 干扰，也可精确区分高度同源的 miRNA
- ◆ **灵敏度高**：StarScript III 反转录酶，可对低至 10 pg 的 total RNA 进行反转录
- ◆ **使用方便**：试剂盒中提供人、小鼠、大鼠通用的 U6 内参反转录引物和 qPCR 引物
- ◆ **适用广泛**：可适用于不同 miRNA 的反转录

► **灵敏度高**



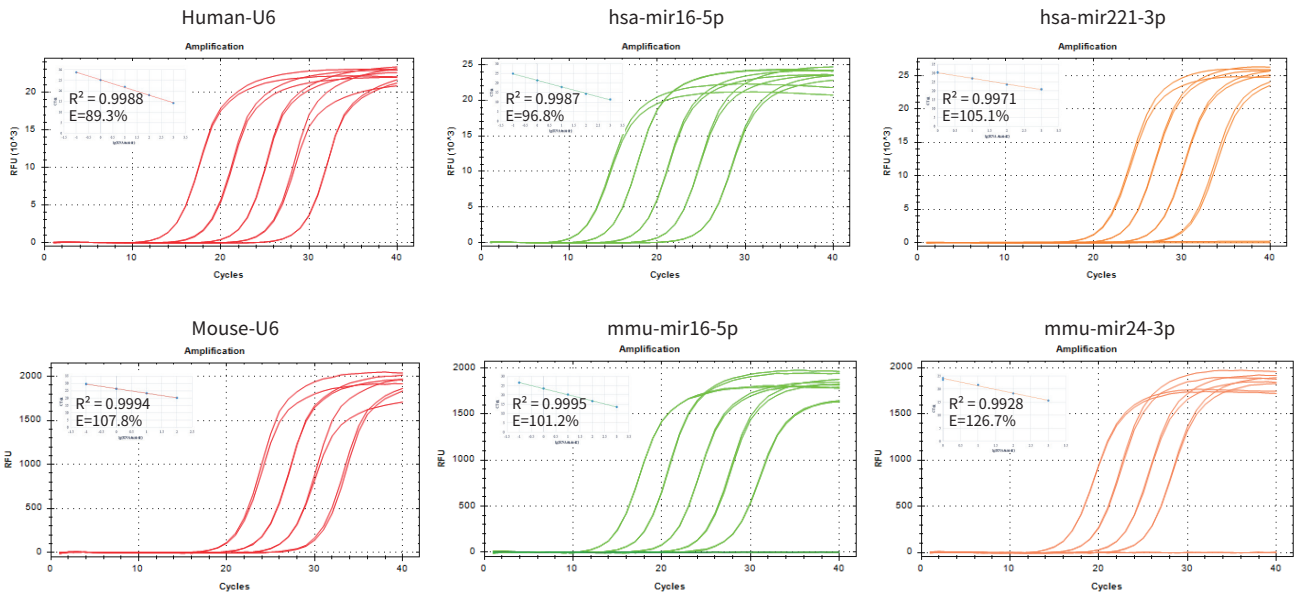
以 1 µg/100 ng/10 ng/1 ng/100 pg/10 pg Hela 细胞 total RNA 为模板，使用 A237 反转录后，通过 qPCR 检测 hsa-mir16-5p，A237 最低可对 10 pg total RNA 进行反转录



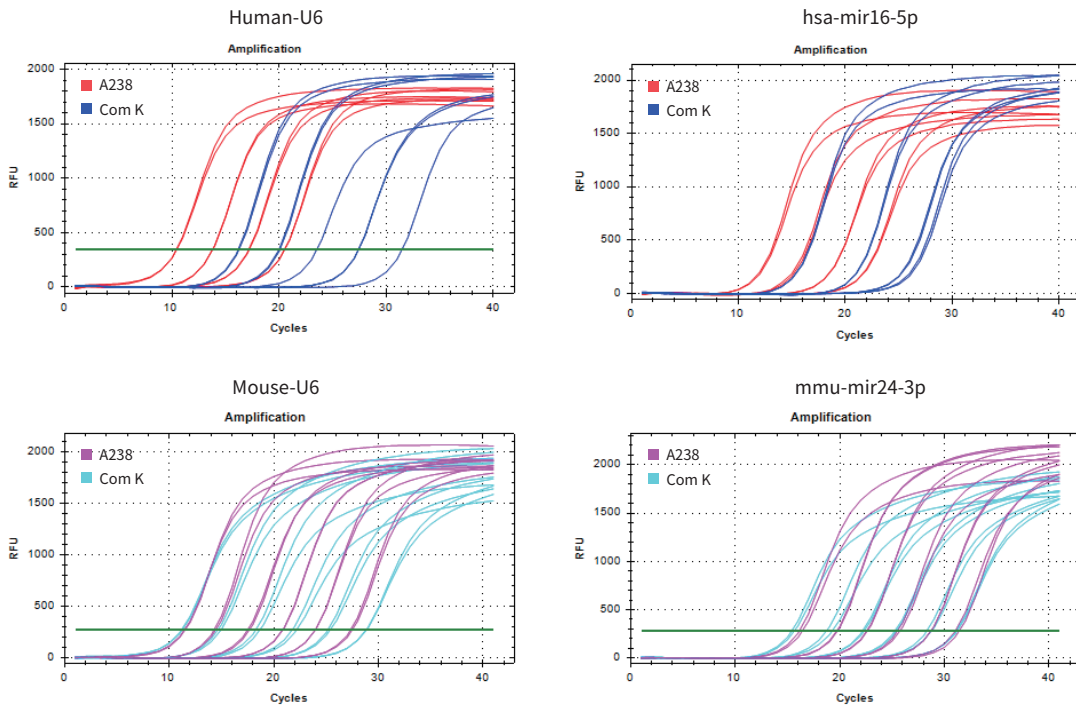
以 1 µg/100 ng/10 ng/1 ng/100 pg/10 pg 小鼠 total RNA 为模板，使用 A238 反转录后，通过 qPCR 检测 mmu-mir21-5p，A238 最低可对 10 pg total RNA 进行反转录

► 模板适用性广

A237 模板适用性



A238 模板适用性



以不同浓度的 Hela 细胞 RNA 和小鼠 RNA 为模板，分别用 A237、A238 进行反转录后，进行不同 miRNA 的 qPCR 检测，结果显示，A237、A238 对不同 miRNA 反转录效果均较好

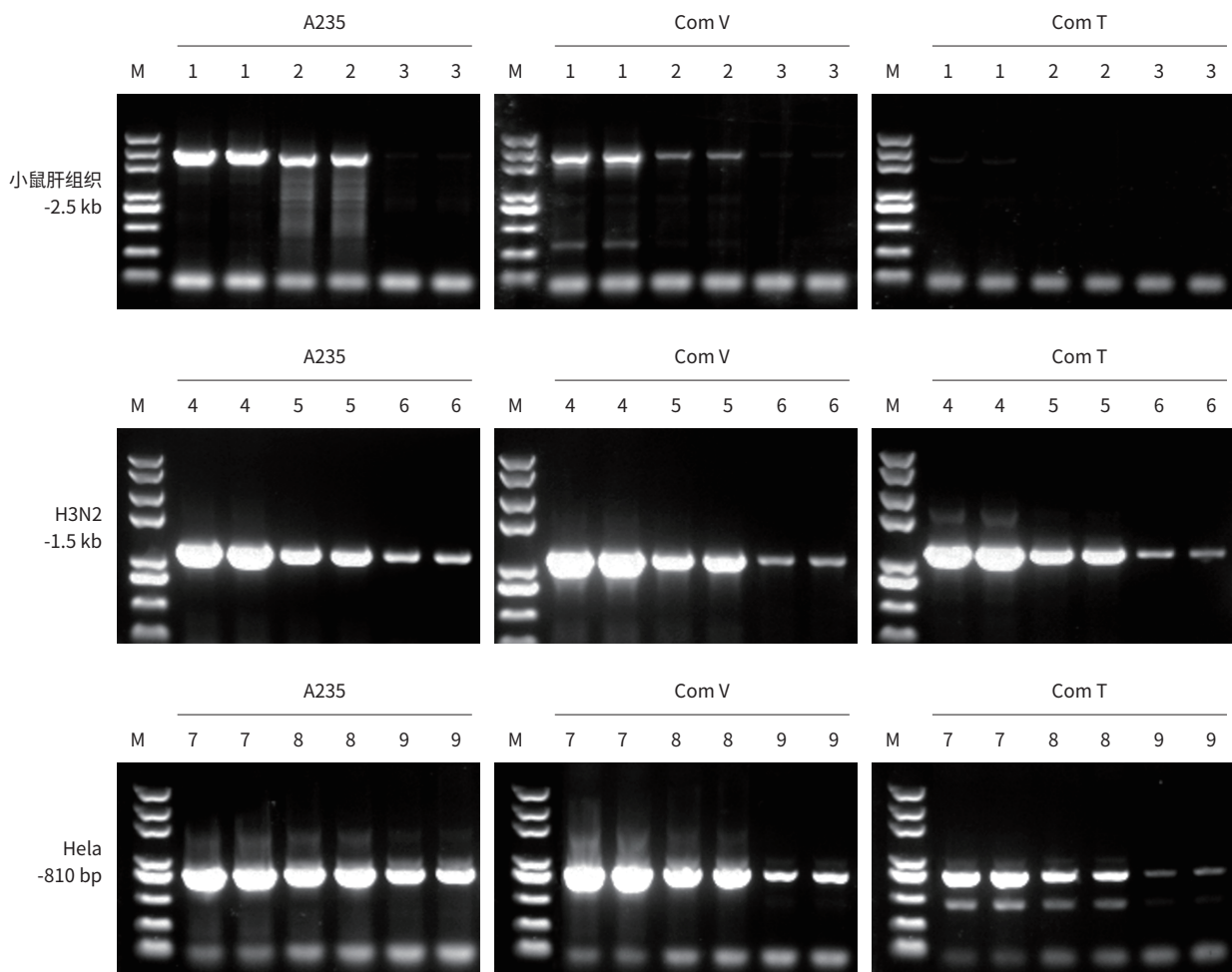
03 / 一步法 RT-PCR

一步法 RT-PCR 试剂盒，可将 cDNA 合成和 PCR 扩增在一个反应体系中完成，减少移液操作，降低操作误差和污染风险。可用于检测细胞中基因表达水平，细胞中 RNA 病毒的含量和直接克隆特定基因的 cDNA 序列。

产品名称	货号	规格	目录价 (¥)	特点
StarScript III One-Step RT-PCR Kit (Dye)	A235-01	50 rxn	338	• 含红色染料，产物直接电泳 • cDNA 合成和 PCR 扩增一步完成
StarScript III 一步法 RT-PCR 试剂盒 (染料)	A235-04	200 rxn	1188	
StarScript III One-Step RT-PCR Kit	A236-01	50 rxn	338	• cDNA 合成和 PCR 扩增一步完成
StarScript III 一步法 RT-PCR 试剂盒	A236-04	200 rxn	1188	

- ◆ 操作简便：cDNA 合成和 PCR 扩增在同一反应体系内即可完成
- ◆ 灵敏度高：检测灵敏度可达 1 pg 总 RNA
- ◆ 模板适应性广：适用于人、小鼠、流感病毒等不同来源的 RNA 的 RT-PCR
- ◆ 可选含染料产品：含红色染料，PCR 反应产物可以直接电泳检测

▶ 模板适用性广且扩增能力强



以小鼠 RNA (100 ng/10 ng/1 ng)、不同稀释倍数的甲流 (H3N2) RNA、Hela 细胞 RNA (10 ng/1 ng/100 pg) 为模板进行反转录。结果显示，StarScript III 一步法 RT-PCR 试剂盒适用性极广且扩增效率高

04 / 反转录配套试剂

产品名称	货号	规格	目录价 (¥)
Nuclease-free Water (DEPC-treated) 无核酸酶水 (DEPC 处理)	A220-10	1 ml×10	50
	A220-50	50 ml	52
gDNA Remover Reagent 去基因组 DNA 试剂	A221-02	20 rxn	138
DNase I (RNase-free) 脱氧核糖核酸酶 I (无核糖核酸酶)	A216-01	250 U	340
Oligo18 (dT) Primer Oligo18 (dT) 引物	A212-105	50µl	70
Random Primer 随机引物	A212-106	50µl	70
RNase H 核糖核酸酶 H	A217-01	600 U	652
RNase Inhibitor (RNaseIn) 核糖核酸酶抑制剂	A218-01	2000 U	590
Thermolabile dsDNase 热敏型双链 DNA 酶	A219-01	100 U	320

附录：代表性文献（近 5 年，IF ≥ 8）

1. Fanqi Hu, Zian Pan, Chao Liu, et al. Identification of inflammatory regulation roles of thalidomide/ruxolitinib in nucleus pulposus and construction of polyelectrolyte nanocomplexes-impregnated injectable hydrogels for synergistic intervertebral disk degeneration treatment. *Nano Today*. 2022 June;44:101462. **IF=20.722**
2. Na Yan, Bin Hu, Junchao Xu, et al. Stem cell Janus patch for periodontal regeneration. *Nano Today*. 2022 February;42:101336. **IF=20.722**
3. Hongbo Liu, Shuailei Chang, Sijia Chen, et al. Highly sensitive and rapid detection of SARS-CoV-2 via a portable CRISPR-Cas13a-based lateral flow assay. *J Med Virol*. 2022;94:5858–58. **IF=20.693**
4. Xi Yang, Shi-Ting Wu, Rui Gao, et al. Release of STK24/25 suppression on MEKK3 signaling in endothelial cells confers Cerebral cavernous malformation. *JCI Insight*. 2023;8(5):e160372. **IF=19.456**
5. He Hanqing, Xu Panglian, Zhang Xiaofei, et al. Aging-induced IL27Ra signaling impairs hematopoietic stem cells. *Blood*. 2020 July;136 (2): 183–198. **IF=17.794**
6. Xin Peng, Shaolu Zhang, Yingying Wang, et al. Stelletin B Sensitizes Glioblastoma to DNA-Damaging Treatments by Suppressing PI3K-Mediated Homologous Recombination Repair. *Advanced Science*. 2023 January;10(3):2205529. **IF=17.521**
7. Cheng-Qi Jia, Zhen Zhang, Shi-Qi Cao, et al. A biomimetic gradient porous cage with a micro-structure for enhancing mechanical properties and accelerating osseointegration in spinal fusion. *Bioactive Materials*. 2023 May;23:234-246. **IF=16.874**
8. Chenchen Peng, Yukun Shi, Shuo Wang, et al. Genetic and functional characterization of multiple thermophilic organosulfur-removal systems reveals desulfurization potentials for waste residue oil cleaning. *Journal of Hazardous Materials*. 2023 March;446:130706. **IF=14.224**
9. Kong Ning, Yang Hang, Tian Run, et al. An injectable self-adaptive polymer as a drug carrier for the treatment of nontraumatic early-stage osteonecrosis of the femoral head. *Bone Research*. 2022 March;10(28). **IF=13.362**
10. Wenyang Zhang, Cong Tan, Haifei Hu, et al. Genome architecture and diverged selection shaping pattern of genomic differentiation in wild barley. *Plant Biotechnology Journal*. 2023 January;21(1):46-52. **IF=13.263**
11. Chenglei Wu, Weixin Chen, Jincan He, et al. Interplay of m6A and H3K27 trimethylation restrains inflammation during bacterial infection. *Science Advances*. 2020 August;16(34). **IF=13.117**
12. Yutian Liu, Siliang Zhang, Hongzhang Deng, et al. Lead and copper influenced bile acid metabolism by changing intestinal microbiota and activating farnesoid X receptor in *Bufo gargarizans*. *Science of Total Environment*. 2023 March;863:160849. **IF=10.753**
13. Zhe Zhang, Yingying Wang, Qian Ma, et al. Biomimetic carrier-free nanoparticle delivers digoxin and doxorubicin to exhibit synergetic antitumor activity in vitro and in vivo. *Chemical Engineering Journal*. 2021 February;406:126801. **IF=10.652**
14. Jun Li, Yuhang Zhang, Ruirui Ma, et al. Identification of ST1 reveals a selection involving hitchhiking of seed morphology and oil content during soybean domestication. *Plant Biotechnology Journal*. 2022 June;20(6):1110-1121. **IF=9.803**
15. Li-Juan Wang, Xiao-Ran Jiang, Jie Hou, et al. Engineering *Halomonas* bluephages via small regulatory RNAs. *Metabolic Engineering*. 2022 September;73:58-69. **IF=9.783**
16. Long Dan-dan, Zhang Yu-zhuo, Liu An, et al. Microglia sustain anterior cingulate cortex neuronal hyperactivity in nicotine-induced pain. *Journal of Neuroinflammation*. 2023 March;20(81). **IF=9.587**
17. Shichao Zhu, Xiyun Rao, Yude Qian, et al. Liver Endothelial Heg Regulates Vascular/Biliary Network Patterning and Metabolic Zonation Via Wnt Signaling. *Cellular and Molecular Gastroenterology and Hepatology*. 2022;13(6):1757-1783. **IF=9.225**
18. Yu Han, Yu Li, Zhiwei Zeng, et al. Resistance Mechanism and Physiological Effects of Microcin Y in *Salmonella enterica* subsp. *enterica* Serovar Typhimurium. *Microbiology Spectrum*. 2022 December;10(6):e01859-22. **IF=9.043**
19. Wen Feng Chen, Xiang Fei Meng, Yin Shan Jiao, et al. Bacteroid Development, Transcriptome, and Symbiotic Nitrogen-Fixing Comparison of *Bradyrhizobium arachidis* in Nodules of Peanut (*Arachis hypogaea*) and Medicinal Legume *Sophora flavescens*. *Microbiology Spectrum*. 2023 January;11(1):e01079-22. **IF=9.043**
20. Yingjie Guo, Lingxia Pan, Liding Wang, et al. Epstein-Barr Virus Envelope Glycoprotein gp110 Inhibits IKK α -Mediated Activation of NF- κ B and Promotes the Degradation of β -Catenin. *Microbiology Spectrum*. 2023 April;e00326-23. **IF=9.043**
21. Fathalrhman Eisa Addoma Adam, Xueliang Zhao, Zhao Guan, et al. Simultaneous Expression of Chicken Granulocyte Monocyte Colony-Stimulating Factor and the Hemagglutinin-Neuraminidase Epitope of the Virulent Newcastle Disease Virus Genotype VII C22 Strain in a Functional Synthetic Recombinant Adenovirus as a Genotype-Matched Vaccine with Potential Antiviral Activity. *Microbiology Spectrum*. 2023 April;e04024-22. **IF=9.043**
22. Guanghao Li, Yongheng Liu, Yanting Zhang, et al. A Novel Ferroptosis-Related Long Non-Coding RNA Prognostic Signature Correlates With Genomic Heterogeneity, Immunosuppressive Phenotype, and Drug Sensitivity in Hepatocellular Carcinoma. *Frontiers in Immunology*. 2022 July;13:929089. **IF=8.786**
23. Zhang Shaolu, Peng Xin, Li Xiaofei, et al. BKM120 sensitizes glioblastoma to the PARP inhibitor rucaparib by suppressing homologous recombination repair. *Cell Death & Disease*. 2021 May; 12: 546. **IF=8.469**
24. Jia Wangyue, Wang Zhaoyan, Gao Ceshu, et al. Trajectory modeling of endothelial-to-mesenchymal transition reveals galectin-3 as a mediator in pulmonary fibrosis. *Cell Death & Disease*. 2021;12:327. **IF=8.469**
25. Rui Wang, Shi-Ting Wu, Xi Yang, et al. Pdcd10-Stk24/25 complex controls kidney water reabsorption by regulating Aqp2 membrane targeting. *JCI Insight*. 2021 June;6(12):e142838. **IF=8.315**
26. Junjian Dong, Chengfei Sun, Yuanyuan Tian, et al. Genomic organization and gene evolution of two warm temperature acclimation proteins (Wap65s) of *Micropterus salmoides* and their responses to temperature and bacterial/viral infections. *International Journal of Biological Macromolecules*. 2023 February;227:340-353. **IF=8.025**



北京康润诚业生物科技有限公司

Add: 北京市昌平区中关村生命科学园生命园路8号院一区9号楼A座5层

Tel: 400-666-3332

E-mail: tech.service@gene-star.com

Web: www.gene-star.com